

Величина углового смещения определяется по известной формуле

$$\varphi = \varphi_0 \cos pt + \frac{\varphi_0^1}{p} \sin pt, \text{ являющейся общим решением уравнения крутильных колебаний, что учитывается в аргументе } \omega \text{ дальнейших расчетов постоянной и переменной составляющей сил резания:}$$

$$P_0 = P(\omega, v, h_0, \chi_1, \chi_2) \quad (2)$$

$$P_1 = \frac{\partial P(\omega, v, h_0, \chi_1, \chi_2)}{\partial \Im} \quad (3)$$

Таким образом, исследование влияния жесткостных и динамических характеристик элементов технологической системы комбинированной обработки позволяет определить пути дальнейшего усовершенствования конструкций инструмента и создания новых методов обработки.

### Литература

1. Максимов Ю.В., Анкин А.В. Образование погрешности при комбинированной обработке нежестких валов. – «Автомобильная промышленность», 1995, № 9, с. 28-31.
2. Анкин А.В. Тангенциальные колебания при совмещении резания и поверхностного пластического деформирования нежестких валов. Реферируемый журнал «Известия МГТУ «МАМИ», № 2 (14), Т. 2, 2012, с. 7-10.
3. Анкин А.В., Максимов Ю.В., Матяш В.И. Математическое моделирование формообразования деталей класса нежестких валов. – «Вестник машиностроения», 1997, № 3, с. 27-30.
4. Максимов Ю.В., Логинов Р.В. Моделирование комбинированной обработки нежестких валов. «Химическое и нефтегазовое машиностроение», 1998, № 9-10, с. 61-63.
5. Максимов Ю.В., Анкин А.В. Theory and Practice of Technology for Machining Non-Rigid Smooth Shafts in Reconfigurable Production (Теория и практика обработки нежестких валов в реконфигурируемом производстве) Монография. Reconfigurable Manufacturing systems and transformable Factories. Под ред. А.И. Дащенко. Изд. «Springer-Verlag Berlin Heidelberg», 2006, с. 544-568.

### ***Взаимосвязь свойств поверхности и ее фрактальной размерности***

Бавыкин О.Б., д.т.н. проф. Вячеславова О.Ф.

Университет машиностроения

*smis@mami.ru*

**Аннотация.** В статье проведен анализ результатов исследований взаимосвязи фрактальной размерности поверхности объекта с ее свойствами и его функциональными параметрами. В результате анализа предложена таблица, описывающая характер взаимосвязи.

**Ключевые слова:** фрактальный анализ, фрактальная размерность, свойства поверхности, шероховатость

Изучение взаимосвязи свойств поверхности и ее геометрических характеристик имеет давнюю историю, однако проблемы качества поверхности продолжают существовать и, более того, приобретают особую актуальность в связи с созданием новых технологий обработки материалов.

Они отчетливо проявляются в области нанотехнологий, для которых шероховатость рассматривается не как вторичная характеристика, являющаяся «откликом» структуры поверхностного слоя на воздействие того или иного физического процесса, а как свойство самой структуры.

Кроме того, форма элементов шероховатости, возникающие на поверхности при воздействии на материал концентрированными потоками энергии, как правило, сильно отличаются.

ется от традиционного представления шероховатости как о периодическом чередовании выступов и впадин, описываемых в рамках евклидовой геометрии [1].

В связи с этим актуальна задача разработки и применения новых подходов в оценке свойств поверхности. Одним из возможных направлений поиска таких подходов является использование теории фракталов и разработанного на ее основе фрактального анализа, а в качестве оценочного количественного параметра – фрактальной размерности  $D$ .

Это подтверждается рядом исследований. Одно из них [2] показало зависимость фрактальной размерности и триботехнических характеристик (в частности коэффициента трения) алмазоподобных покрытий после разного числа циклов трения. В то же время авторы не выявили корреляций между параметром шероховатости  $R_a$  и коэффициентом трения от числа циклов испытаний.

В работах [3, 4] в ходе экспериментальных исследований были получены зависимости фрактальной размерности поверхности полимерных образцов от вязко-упругих характеристик наполненного полимера (смолы ЭД-20) (рисунок 1). Кроме того, те же авторы исследовали корреляции фрактальной коразмерности и динамического модуля упругости  $E'$  смолы ЭД-20, наполненной ультрадисперсным порошком алмазографита УДП-АГ и порошком оксида алюминия  $\text{Al}_2\text{O}_3$  (рисунок 2). Анализ зависимости ударной вязкости  $A_p$  от фрактальной размерности  $D$  наполненного полимера показывает, что для обеих систем ЭД-20+УДП-АГ и ЭД-20+ $\text{Al}_2\text{O}_3$  с ростом фрактальной размерности наблюдается падение ударной вязкости.

Для системы ЭД-20+УДП-АГ падение  $A_p$  можно объяснить тем, что с повышением параметра  $D$  происходит увеличение «возмущения» структуры, вызванное наличием агломератов, которые при ударных нагрузках будут являться концентраторами напряжений. Для системы ЭД-20+ $\text{Al}_2\text{O}_3$  большую роль будет играть форма частиц – чешуйка. Важным моментом будет расположение частицы, определяющее распределение напряжений.

Анализ зависимости динамического модуля упругости  $E'$  для систем ЭД-20+УДП-АГ и ЭД-20+ $\text{Al}_2\text{O}_3$  от фрактальной коразмерности  $D$  показывает, что с ростом параметра  $D$  значение модуля упругости увеличивается. Это объясняется тем, что с увеличением «изрезанности» структуры уменьшается гибкость статистической цепи, то есть затрудняется молекулярная подвижность.

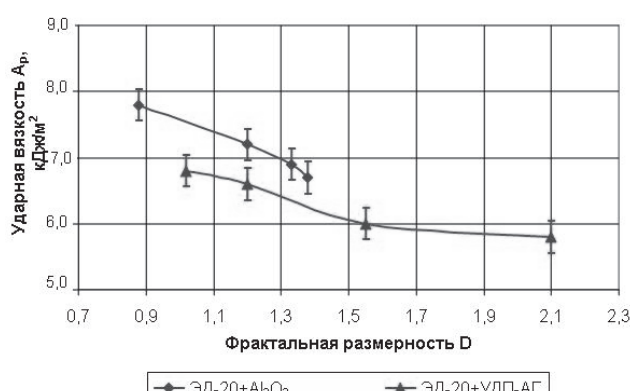


Рисунок 1. Зависимость ударной вязкости  $A_p$  от фрактальной размерности  $D$  наполненного полимера

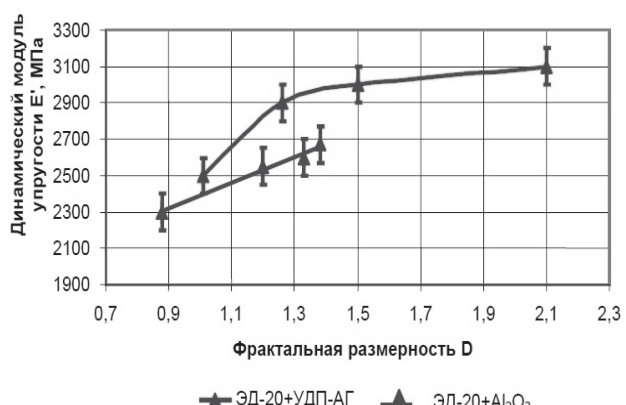


Рисунок 2. Зависимость динамического модуля упругости  $E'$  от фрактальной коразмерности  $D$  поверхности структур

В работе [5] выполнен фрактальный анализ поверхности вольфрама, которая была обработана процессом электрохимического растворения в системе вода -monoэтаноламин (МЭА) - хлорид натрия. При этом варьировалась концентрация МЭА, что позволило управлять степенью растворения поверхности металла и тем самым получить различную шероховатость. Результаты эксперимента представлены в таблице 1.

Приведенные результаты свидетельствуют о том, что при увеличении концентрации МЭА фрактальная размерность поверхности металла снижается, то есть скорость растворения поверхности уменьшается. Авторы полученные данные качественно подтверждают ви-

дом соответствующих профилограмм, а также результатами измерения высот микронеровностей на поверхности вольфрама после его анодной обработки в растворах с различным содержанием моноэтаноламинами.

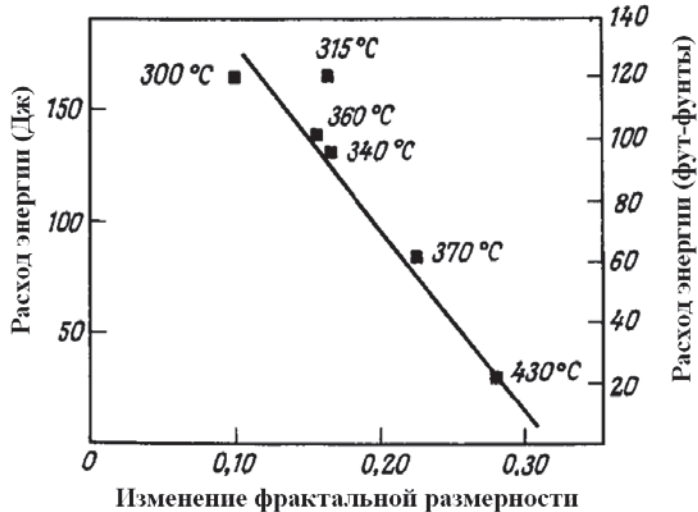
Таблица 1

**Влияние концентрации МЭА в рабочем растворе на фрактальную размерность  $D$  поверхности вольфрама**

Раствор	Фрактальная размерность $D$	$R_z$ , мкм
1 M NaCl	2,548	2,80
1 M NaCl + 1M МЭА	2,227	0,38
1 M NaCl + 6M МЭА	2,156	0,18

В работе [6] для полимеров, синтезируемых в тлеющем разряде пониженного давления, было обнаружено, что величина фрактальной размерности и толщина формируемого полимера взаимосвязаны – снижение толщины характеризуется уменьшением значения параметра  $D$ .

В серии экспериментов [7] образцы мартенситной стали марки 300 были подвергены тепловой обработке при разной температуре. На следующей стадии измерялось количество энергии, которую необходимо вложить, чтобы разрушить образцы, и определялась фрактальная размерность поверхности разлома. На рисунке 3 представлены полученные результаты. Видно, что фрактальные размерности, заключенные в пределах 2,1-2,28, линейно зависят от вложенной энергии. Таким образом, увеличение значений фрактальной размерности способствует повышению долговечности металлов и сплавов ввиду того, что развитая «изрезанная» граница зерна распределяет нагрузку более равномерно, амортизируя её.



**Рисунок 3. Связь измеренной фрактальной размерности поверхности разлома  $D$  и энергии, необходимой для разлома серии образцов мартенситной стали марки 300, закаленных при различных температурах**

Анализируя все отмеченные выше взаимосвязи фрактальной размерности и свойств поверхности, можно выделить характер корреляции для каждого случая (таблица 2).

#### Заключение

Таким образом, в результате проведенного анализа научных работ можно заключить, что фрактальная размерность поверхности (параметр  $D$ ) может использоваться для определения эксплуатационных свойств деталей. Такой подход особенно актуален для материалов, полученных нетрадиционными современными методами обработки [1, 8-10].

Отмеченный в таблице 2 характер корреляции фрактальной размерности и свойств поверхности дают основания для разработки многомерной шкалы [11, 12]. Это позволит, имея на выходе один параметр (фрактальную размерность), адекватно оценивать структурно-динамические характеристики поверхности и при необходимости менять параметры режима обработки в соответствии с заданными требованиями.

Таблица 2

**Зависимости фрактальной размерности и свойств поверхности**

Свойство поверхности		Характер зависимости от параметра $D$
Триботехнические характеристики (коэффициента трения)		При уменьшении фрактальной размерности значение коэффициента трения увеличивается
Вязко-упругие характеристики	ударная вязкость	С повышением фрактальной размерности наблюдается падение ударной вязкости
	динамический модуль упругости	С ростом фрактальной размерности значение модуля упругости увеличивается
Физико-химические характеристики (степень растрескивания)		При снижении параметра $D$ происходит снижение скорости растрескивания поверхности при обработке ее методами размерной ЭХО
Коррозионная стойкость		Увеличение значений фрактальной размерности обработанной поверхности приводит к снижению коррозионной стойкости
Долговечность		Рост значений фрактальной размерности способствует повышению долговечности
Качество поверхности		Повышение параметра $D$ характеризует увеличение характеристик $R_a, R_z$ .

**Литература**

- Потапов А.А., Булавкин В.В., Герман В.А., Вячеславова О.Ф. Исследование микрорельефа обработанных поверхностей с помощью методов фрактальных сигнатур // ЖТФ. 2005. Т. 75, № 5. с. 28 – 45.
- Киселевский О.С. Методика мультифрактального анализа поверхностей по данным атомно-силовой микроскопии // БелСЭМ, № 4, 2000. с. 31-40.
- Рогалев А.В. Прогнозирование свойств композиционного материала, наполненного наноразмерными частицами в рамках фрактально-клusterного подхода / А.В. Рогалев, С.А. Хвостов, Е.С. Ананьева, В.Б. Маркин // Ползуновский вестник. – Барнаул: Изд-во АлтГТУ, 2007. №3. с. 98–104.
- Рогалев А.В. Влияние ультрадисперсных частиц на формирование структуры и уровень эксплуатационных свойств КМ: автореф. дис. кан. техн. наук. – Барнаул, 2007. 18 с.
- Носков А.В., Балмасов А.В., Козлова Н.Б., Лилин С.А. Фрактальные свойства поверхности вольфрама по данным импедансной спектроскопии границы раздела металл-раствор // Журн. физ. химии. 2003. Т. 77. с. 2081.
- Сафонов А.А. Кинетика формирования и свойства нано- и микроструктур полимеров, синтезируемых в тлеющем разряде пониженного давления в парах адамантана и его производных: автореф. дис. кан. техн. наук. – Самара, 2012. 20 с.
- Mandelbrot B.B., Passoja D.E., Paullay A.J., Fractal character of fracture surfaces of metals. Nature, v. 308, n. 19, April, p. 721-722, 1984.
- Забельян Д.М., Рогов В.В., Митрюшин Е.А., Моргунов Ю.А., Саушкин Б.П. Скоростная электроэррозионная обработка пазов системы охлаждения жаровой трубы камеры сгорания // Металлообработка, №3, 2012. с. 14–19.
- Бавыкин О.Б., Вячеславова О.Ф. Формирование наименьшего значения шероховатости поверхности деталей машин на основе выбора оптимальных режимов размерной электрохимической обработки // Известия МГТУ «МАМИ». - 2010. - № 2 (10). с. 102-107.
- Вячеславова О.Ф., Бавыкин О.Б. Применение фрактального анализа для описания и оценки стохастически сформированных поверхностей // Известия МГТУ «МАМИ». – 2012. - № 2 (14), Т. 2. с. 61-63.
- Бавыкин О.Б. Оценка качества поверхности машиностроительных изделий на основе комплексного подхода с применением многомерной шкалы // Известия Московского государственного технического университета МАМИ. 2012. Т. 1. № 1. с. 139-142.

12. Бавыкин О.Б. Фрактальная многомерная шкала, предназначенная для управления режимом размерной ЭХО и оценки его выходных данных // Известия МГТУ «МАМИ». – 2012. - № 2 (14), Т. 2. - с. 218-219.

## **Особенности расчета кулачково-зубчато-рычажных механизмов с упругим элементом и фиксированным выстоем выходного звена**

доц. Балабина Т.А., проф. Мамаев А.Н., Симбирцев И.Н.

Университет машиностроения  
8(495)2230523 – доб. 1390, tmm@mami.ru

*Аннотация.* В статье рассматриваются особенности кулачково-зубчато-рычажных механизмов с упругим элементом, обеспечивающие фиксированный выстой выходного звена; в сжатом виде излагается методика кинематического и силового расчет таких механизмов.

*Ключевые слова:* зубчато-рычажный механизм, кинематический расчет, силовой расчет, упругий элемент, фиксированный выстой

Среди многообразия механизмов, применяемых для воспроизведения периодического поворота, особое место занимают зубчато-рычажные механизмы, обеспечивающие периодический поворот выходного звена с выстоем без разрыва кинематической цепи. Однако выстой в этих механизмах приближенный и сопровождается некоторым обратным поворотом выходного звена. Известные способы устранения или уменьшения угла обратного поворота не обеспечивают кинематически точного выстоя [1].

Между тем введение в состав механизма упругого элемента [2, 3, 4, 5] позволяет зафиксировать выходное звено на участке выстоя и таким образом получать точный выстой.

В работе [2] был предложен кулачково-зубчато-рычажный механизм, в котором для обеспечения фиксированного выстоя шатун ВС выполнен из двух частей 2 и 2', соединенных между собой упругим элементом. Причем упругий элемент - спиральная пружина сжатия - установлен таким образом, что как укорочение, так и удлинение шатуна по сравнению с его исходной длиной требует превышения силой, действующей вдоль линии шатуна, силы предварительного натяга пружины, т. е. предложенное устройство обеспечивает предварительный натяг двухстороннего действия.

В работах [3, 4, 5] предложены кулачково-зубчато-рычажные механизмы, в которых упругий элемент соединяет между собой кривошип и зубчатое колесо, свободно установленное на подвижном шарнире кривошипа [3]; зубчатые колеса, установленные на подвижном шарнире коромысла; зубчатое колесо и поворотный диск, свободно установленные на неподвижном шарнире коромысла.

В период движения выходных звеньев механизмов [3, 4, 5] силы взаимодействия звеньев, соединенных упругим элементом, меньше силы выбранного предварительного натяга упругого элемента, и поэтому эти звенья движутся как одно целое. В период выстоя принудительная остановка выходного звена приводит к превышению силы предварительного натяга упругого элемента, в результате происходит относительное движение звеньев, связанных упругим элементом, что позволяет механизмам продолжать движение при остановленном звене.

Специфика кинематического и силового расчета предложенных механизмов зависит от расположения упругого элемента. В тех случаях, когда он введен между зубчатыми колесами или зубчатым колесом и звеном рычажного механизма, не возникает затруднений и расчеты выполняются традиционными методами. Однако, когда упругий элемент введен в рычажную цепь механизма, такие расчеты в период выстоя выходного звена требуют применения нестандартных приемов, которые представляют интерес.

Последовательность кинематического расчета механизма, у которого при фиксированном выходном звене рычажная цепь имеет две степени свободы, и ее кинематика не может рассматриваться в отрыве от зубчатых передач, вносящих определенность в движение выше-